

# Automatique

## 3. Rappels : systèmes classiques

Sylvie Icart  
icart@unice.fr

ELEC 3  
Polytech'Nice-Sophia

octobre 2018

# 1. Système du premier ordre

## 1.1 Définition :

Fonction de transfert :

$$G(p) = \frac{K}{1 + \tau p}$$

$K$  gain statique,  $\tau$  constante de temps

dimension  $K$  : [dimension sortie]/[dimension entrée]

dimension  $\tau$  : temps (seconde)

Exemple :

- circuit RC série :

entrée : tension aux bornes du circuit, sortie : charge de la capacité

$$u(t) = Ri(t) + \frac{1}{C}q(t) = R\frac{dq}{dt}(t) + \frac{1}{C}q(t)$$

si  $q_0 = 0$ , alors  $U(p) = RpQ(p) + \frac{1}{C}Q(p) = (Rp + \frac{1}{C})Q(p)$

fonction de transfert  $G(p) = \frac{C}{1 + RCp}$

gain statique  $K = C$ , constante de temps  $\tau = RC$

## 1.2 Réponse impulsionnelle

- CI nulles

- $e(t) = \delta(t)$ ,  $E(p) = 1$

$$s(t) = \mathcal{L}^{-1}(G(p)) = \mathcal{L}^{-1}\left(\frac{K}{1 + \tau p}\right)$$

$$s(t) = g(t) = \frac{K}{\tau} e^{-\frac{t}{\tau}} u_h(t)$$

$$\text{TVI} : s(0^+) = \frac{K}{\tau}$$

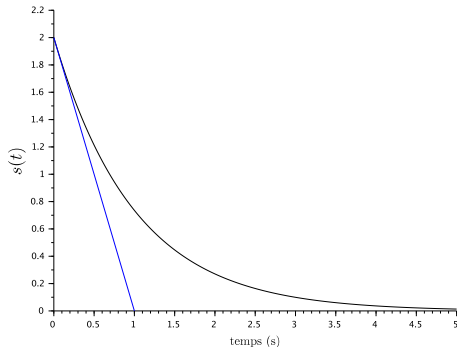
$$\text{TVF} : \lim_{t \rightarrow \infty} s(t) = 0,$$

pente à l'origine :

$$\left. \frac{ds}{dt}(t) \right|_{t=0^+} = -\frac{K}{\tau^2} e^{-\frac{t}{\tau}} \Big|_{t=0^+} = -\frac{K}{\tau^2}$$

Plus  $\tau$  est faible, plus la réponse est rapide.

réponse impulsionnelle de  $G(p) = \frac{2}{p+1}$



## 1.3 Réponse indicielle

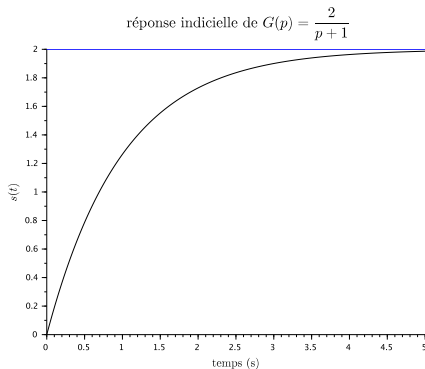
- CI nulles

- $e(t) = u_h(t)$ ,  $E(p) = \frac{1}{p}$

$$s(t) = \mathcal{L}^{-1}\left(G(p)\frac{1}{p}\right)$$

$$= \mathcal{L}^{-1}\left(\frac{K}{p(1+\tau p)}\right)$$

$$= \mathcal{L}^{-1}\left(K\left(\frac{1}{p} - \frac{1}{p + \frac{1}{\tau}}\right)\right)$$



$$s(t) = K(1 - e^{-\frac{t}{\tau}})u_h(t)$$

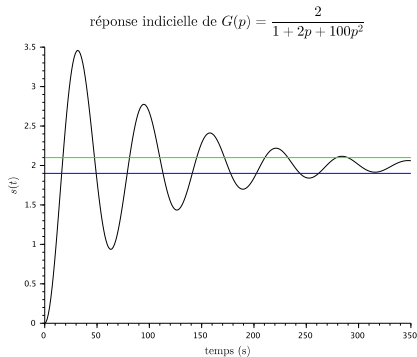
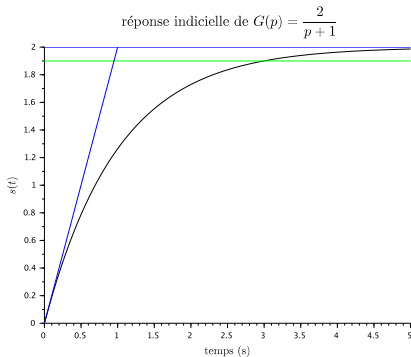
la sortie est une fonction strictement croissante :  $\frac{ds}{dt}(t) = \frac{K}{\tau}e^{-\frac{t}{\tau}} > 0, \forall t$

- Régime permanent :  $\lim_{t \rightarrow \infty} s(t) = \lim_{p \rightarrow 0} G(p) = K$

- Pente à l'origine :

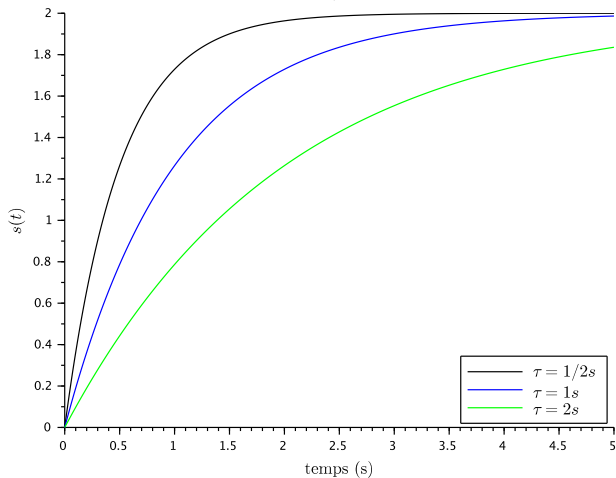
$$\left. \frac{ds}{dt}(t) \right|_{t=0^+} = \left. \frac{d}{dt} K(1 - e^{-\frac{t}{\tau}}) \right|_{t=0} = \frac{K}{\tau} e^{-\frac{t}{\tau}} \Big|_{t=0} = \frac{K}{\tau}$$

- Temps de réponse à 5% :  $\frac{|s(t) - K|}{K} < 5\%$  (cas général)



la sortie ne s'éloigne pas de  $\pm 5\%$  de la valeur finale  
 $s(t)$  monotone :  $s(t_{5\%}) = 0.95K = -\tau \ln(0.05) \sim 3\tau$

réponse indicielle de 3 systèmes du premier ordre



cf les pôles correspondants :  $-1/\tau$

## 1.4 Réponse harmonique

- si  $e(t) = \sin \omega t u_h(t)$ , si les CI sont nulles,

$$\begin{aligned} S(p) &= G(p) \frac{\omega}{p^2 + \omega^2} \\ &= \frac{K}{(1 + \tau p)} \frac{\omega}{p^2 + \omega^2} = \frac{\alpha}{p + \frac{1}{\tau}} + \frac{Ap + B}{p^2 + \omega^2} \end{aligned}$$

$$\alpha = \frac{K\omega\tau}{1 + \omega^2\tau^2},$$

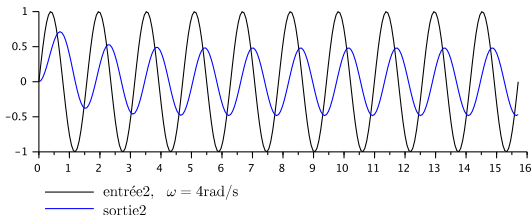
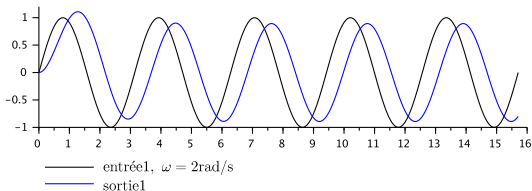
$$A = |G(j\omega)| \sin(\text{Arg}(G(j\omega))), B = \omega |G(j\omega)| \cos(\text{Arg}(G(j\omega)))$$

$$\text{or } G(j\omega) = \frac{K}{1 + j\omega\tau}$$

$$\text{d'où } |G(j\omega)| = \frac{K}{\sqrt{1 + \omega^2\tau^2}} \text{ et } \text{Arg}(G(j\omega)) = -\arctan \omega\tau$$

$$s(t) = \underbrace{\frac{K\omega\tau}{1 + \omega^2\tau^2} e^{-\frac{t}{\tau}}}_{\text{régime transitoire}} + \underbrace{\frac{K}{\sqrt{1 + \omega^2\tau^2}} \sin(\omega t - \arctan \omega\tau)}_{\text{régime permanent}}, t \geq 0$$

$$G(p) = \frac{2}{p+1}$$

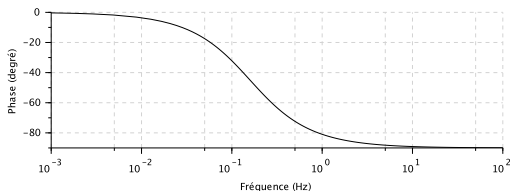
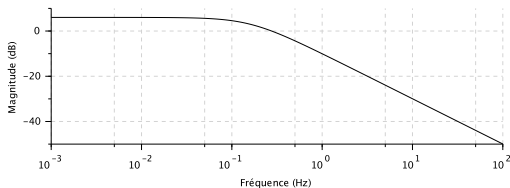




## 1.5 Réponse fréquentielle

Etude de  $G(j\omega) = \frac{K}{1+j\omega\tau}$  en fonction de  $\omega$  (ou  $f = \frac{\omega}{2\pi}$ ).

- $|G(j\omega)| = \frac{K}{\sqrt{1 + \omega^2\tau^2}}$
- $\text{Arg}(G(j\omega)) = -\arctan \omega\tau$



## Tracé de Bode asymptotique du module

- BF :  $|G(j\omega)| \underset{0}{\sim} K$ , soit :  $|G(j\omega)|_{\text{dB}} \underset{0}{\sim} 20 \log K = K_{\text{dB}}$   
asymptote horizontale en BF

- HF :  $|G(j\omega)| \underset{\infty}{\sim} \frac{K}{\omega\tau}$ , soit

$$|G(j\omega)|_{\text{dB}} \underset{\infty}{\sim} 20 \log\left(\frac{K}{\omega\tau}\right) = 20 \log K - 20 \log \tau - 20 \log \omega$$

asymptote oblique en HF : droite de pente -20 dB/décade, passant par  $K_{\text{dB}}$  pour  $\omega = \frac{1}{\tau}$ .

Le point d'intersection des asymptotes a pour abscisse  $\omega = \frac{1}{\tau}$ .

$\omega_1$  et  $\omega_2$  sont reliées par une décade si  $\omega_2 = 10\omega_1$

$$\begin{aligned} |G(j\omega_1)|_{\text{dB}} &\sim 20 \log K - 20 \log \tau - 20 \log \omega_1 \\ |G(j\omega_2)|_{\text{dB}} &\sim 20 \log K - 20 \log \tau - 20 \log \omega_2 \\ &\sim 20 \log K - 20 \log \tau - 20 \log \omega_1 - 20 \end{aligned}$$

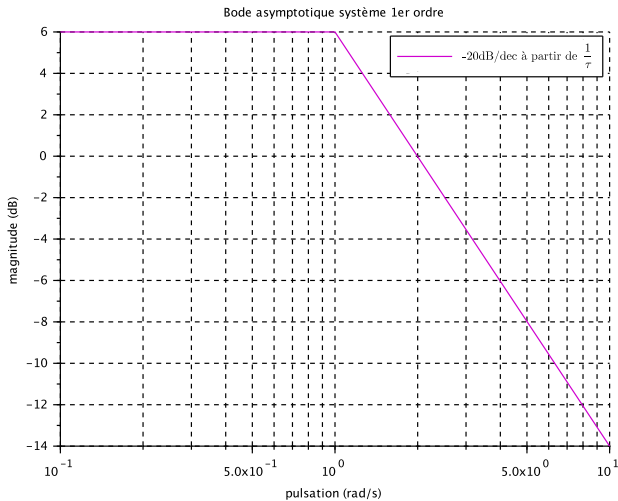
pen­te -20 dB/dec : quand on multi­plie la fré­quence du signal d'en­trée par 10, alors, en ré­gime per­man­ent, l'am­pli­tude du signal de sor­tie est di­vi­sée par 10

$\omega_1$  et  $\omega_3$  sont reliées par une octave si  $\omega_3 = 2\omega_1$

$$|G(j\omega_3)|_{\text{dB}} \sim 20 \log K - 20 \log \tau - 20 \log \omega_1 - 20 \log 2$$

pen­te -6 dB/oct : quand on multi­plie la fré­quence du signal d'en­trée par 2, alors, en ré­gime per­man­ent, l'am­pli­tude du signal de sor­tie est di­vi­sée par 2

# Tracé de Bode asymptotique du module



exemple :  $K = 2, \tau = 1\text{s}$

- Pulsation de coupure d'un système du premier ordre :

$$|G(j\omega_c)| = \frac{|G(0)|}{\sqrt{2}} \text{ ou } |G(j\omega_c)|_{\text{dB}} = |G(0)|_{\text{dB}} - 3, \text{ soit ici}$$

$$|G(j\omega_c)| = \frac{K}{\sqrt{1 + \omega_c^2 \tau^2}} = \frac{K}{\sqrt{2}}$$

Pulsation de coupure d'un système du premier ordre :

$$\omega_c = \frac{1}{\tau}$$

Le point d'intersection des asymptotes (cassure) a pour abscisse  $\omega_c = \frac{1}{\tau}$ .

Tracé de Bode asymptotiques de l'argument :

$$G(j\omega) = \frac{K}{1 + j\omega\tau}, \text{ d'où}$$

$$\text{Arg}(G(j\omega)) = -\arctan \omega\tau$$

Rmq :  $\text{Arg}(G(j\omega_c)) = -45^\circ$ .

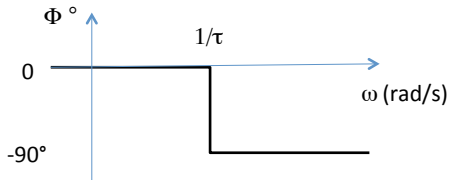
Approximation "grossière" (en marche d'escalier) :

- BF :  $\text{Arg}(G(j\omega)) \underset{0}{\sim} \text{Arg}(K)$ ,  
soit

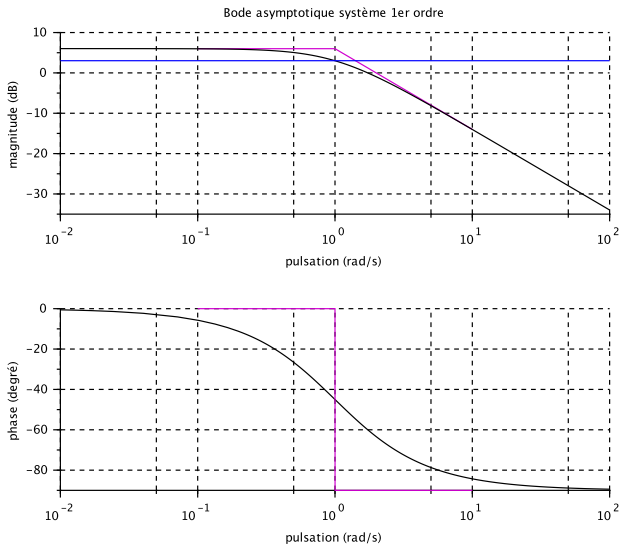
$$\text{Arg}(G(j\omega)) \underset{0}{\sim} 0^\circ$$

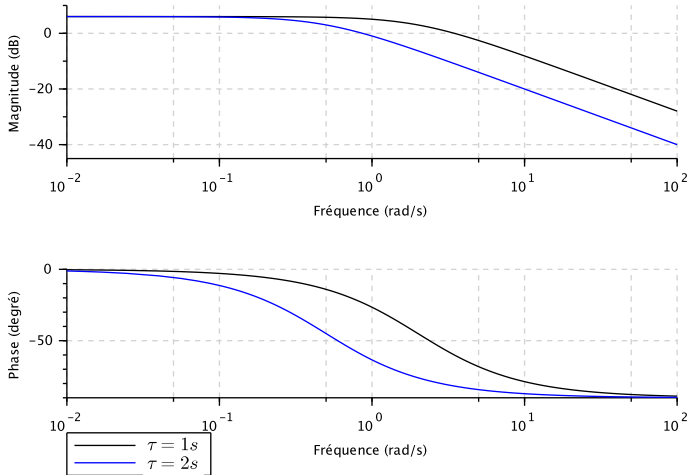
- HF :  
 $\text{Arg}(G(j\omega)) \underset{\infty}{\sim} \text{Arg} \frac{K}{j\omega\tau}$ , soit

$$\text{Arg}(G(j\omega)) \underset{\infty}{\sim} -90^\circ$$



# Tracés de Bode asymptotiques et "réels"





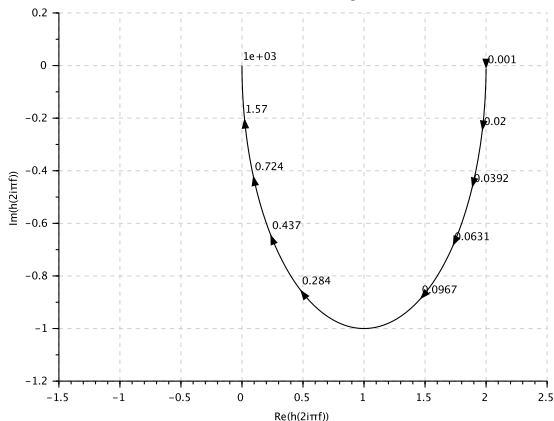
Plus  $\tau$  est faible, plus la bande passante est grande.



# Diagramme de Nyquist

demi-cercle de centre  $\Omega(\frac{K}{2}, 0)$  et de rayon  $\frac{K}{2}$  :

$$\text{Nyquist de } G(p) = \frac{2}{p+1}$$



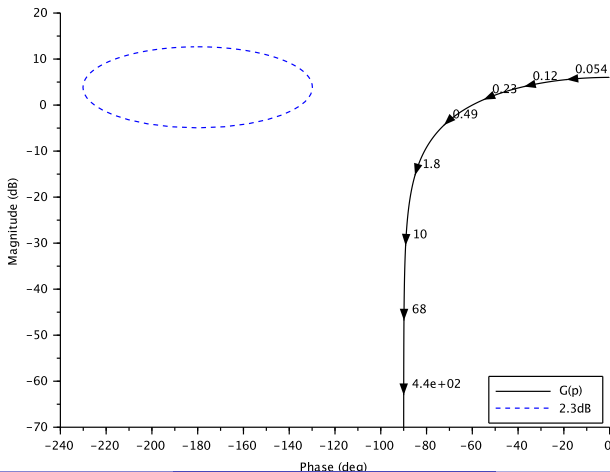
en effet :  $\Re = \dots$ ;  $\Im = \dots$

# Diagramme de Black

gain statique  $K$  (module pour  $f = 0\text{Hz}$ )

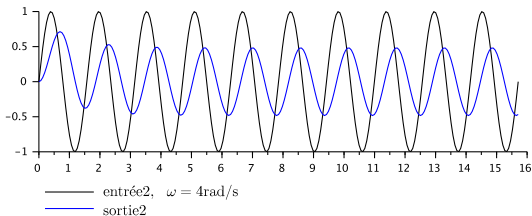
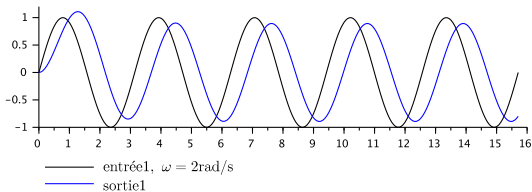
asymptote verticale (argument en  $-\frac{\pi}{2}$  rad ou  $-90^\circ$ )

$$\text{Black de } G(p) = \frac{2}{p+1}$$



réponse à des sinusoïdes :

$$G(p) = \frac{2}{p+1}$$



sortie 2 plus atténuée que sortie 1 :  $\omega_2 > \omega_1$  ( $T_2 < T_1$ )

## 2. Système du second ordre

### 2.1 Définition

Fonction de transfert :

$$G(p) = \frac{K}{1 + 2\zeta \frac{p}{\omega_0} + \frac{p^2}{\omega_0^2}} = \frac{K\omega_0^2}{p^2 + 2\zeta\omega_0 p + \omega_0^2}$$

$K$  gain statique,  $\omega_0$  pulsation propre,  $\zeta$  amortissement

dimension  $K$  : [dimension sortie]/[dimension entrée]

dimension  $\omega_0$  : inverse d'un temps (rad/s)

dimension  $\zeta$  : adimensionnel

Exemple : circuit RLC série

$$u(t) = L \frac{d^2 q}{dt^2}(t) + R \frac{dq}{dt}(t) + \frac{1}{C} q(t)$$

$$K = C, \omega_0 = \frac{1}{\sqrt{CL}}, \zeta = \frac{1}{2} R \sqrt{\frac{C}{L}}$$

Pôles de la fonction de transfert :

$$p^2 + 2\zeta\omega_0 p + \omega_0^2 = 0$$

discriminant réduit :

$$\Delta' = (\zeta\omega_0)^2 - \omega_0^2 = \omega_0^2(\zeta^2 - 1)$$

- si  $\zeta > 1$ , pôles réels négatifs, système **amorti** ou apériodique.
- si  $\zeta < 0$ , système instable (pôles à  $\Re > 0$ ).
- si  $\zeta = 1$ , deux pôles réels négatifs confondus, système **apériodique critique**.
- si  $0 < \zeta < 1$ , pôles complexes conjugués à  $\Re < 0$ , système **non amorti**.

## 2.2 Réponse indicielle

$$s(t) = \mathcal{L}^{-1}\left(G(p)\frac{1}{p}\right) = \mathcal{L}^{-1}\left(\frac{K\omega_0^2}{p(p^2 + 2\zeta\omega_0 p + \omega_0^2)}\right)$$

- *système amorti*  $\zeta > 1$  :  
2 pôles réels négatifs ( $G(p)$ ) et un pôle nul (échelon)

$$S(p) = \frac{\alpha}{p} + \frac{\beta}{1 + T_0 p} + \frac{\gamma}{1 + T_1 p}$$

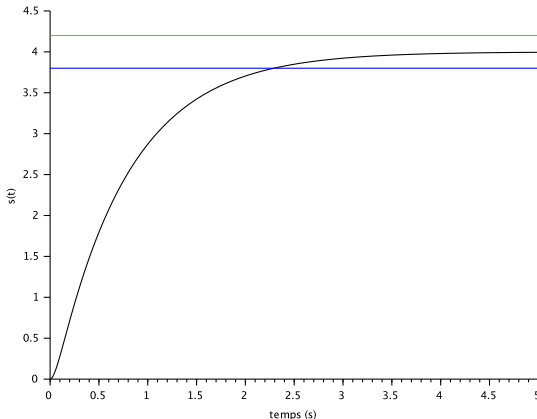
$$s(t) = K \left( 1 + \frac{1}{T_0 - T_1} (T_1 e^{-\frac{t}{T_1}} - T_0 e^{-\frac{t}{T_0}}) \right) u_h(t)$$

$$\text{avec } T_0 = \frac{1}{\omega_0(\zeta + \sqrt{\zeta^2 - 1})} \text{ et } T_1 = \frac{1}{\omega_0(\zeta - \sqrt{\zeta^2 - 1})}, \quad (T_0 < T_1)$$

● Tracé :

- ▶ Pente à l'origine :  $\frac{ds}{dt}(t)|_{t=0^+} = \frac{K}{T_0 - T_1}(-e^{-\frac{t}{T_1}} + e^{-\frac{t}{T_0}})|_{t=0^+} = 0$
- ▶ Régime permanent :  $\lim_{t \rightarrow \infty} s(t) = \lim_{p \rightarrow 0} G(p) = K$
- ▶ fonction monotone :  $\frac{ds}{dt}(t) > 0$

réponse indicielle de  $G(p) = \frac{100}{p^2 + 20p + 25}$  ( $\zeta = 2$ )



- système non amorti  $0 < \zeta < 1$  :

pôles complexes conjugués  $p_{0,1} = -\omega_0(\zeta \pm j\sqrt{1-\zeta^2})$

$$\Re(p_{0,1}) = -\zeta\omega_0, \Im(p_{0,1}) = \pm\omega_0\sqrt{1-\zeta^2}, |p_{0,1}| = \omega_0$$

$$S(p) = \frac{K\omega_0^2}{p(p^2 + 2\zeta\omega_0 p + \omega_0^2)} = \frac{\alpha}{p} + \frac{Ap + B}{(p + \zeta\omega_0)^2 + \omega_0^2(1-\zeta^2)}$$

$$s(t) = K \left( 1 - \frac{e^{-\zeta\omega_0 t}}{\sqrt{1-\zeta^2}} \cos(\omega_0\sqrt{1-\zeta^2}t - \text{atan} \frac{\zeta}{\sqrt{1-\zeta^2}}) \right) u_h(t)$$

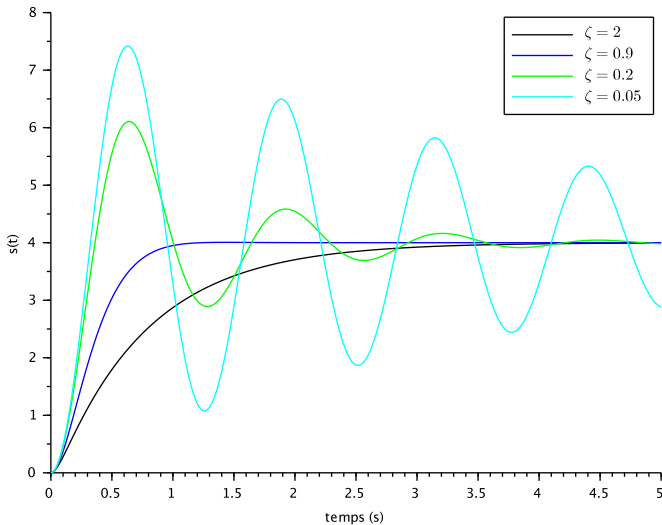
- ▶ régime permanent :  $\lim_{t \rightarrow \infty} s(t) = \lim_{p \rightarrow 0} G(p) = K$
- ▶ pseudo-période des oscillations :  $T_p = \frac{2\pi}{\omega_0\sqrt{1-\zeta^2}}$
- ▶ premier dépassement relatif

$$D = \frac{s(\frac{T_p}{2})}{K} = e^{-\frac{\pi\zeta}{\sqrt{1-\zeta^2}}}$$

ne dépend que de l'amortissement !



réponse indicielle de  $G(p) = \frac{100}{p^2 + 10\zeta p + 25}$  ( $K = 4; \omega_0 = 5 \text{ rad/s}$ )



Plus l'amortissement est grand, plus la réponse est amortie.

temps de réponse à 5% ... calcul complexe  
valeur approchée :

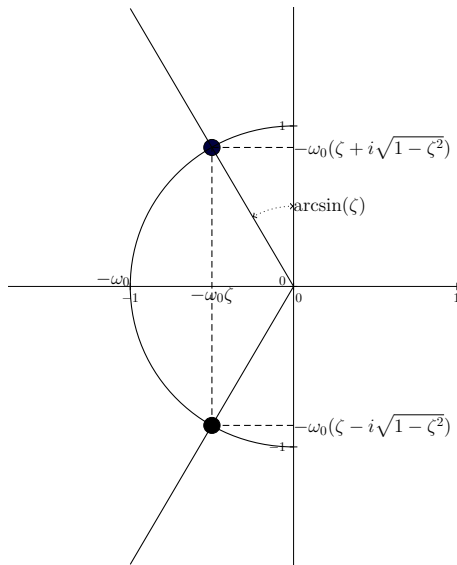
$$t_{5\%} \sim \frac{3}{\zeta \omega_0}$$

plus l'amortissement est petit, plus le temps de réponse est long.

Le dépassement ne dépend que de l'amortissement :

- se donner un dépassement (relatif) revient à se donner  $\zeta$  (argument du pôle)
- si on impose de plus un temps de réponse alors on obtient  $\omega_0$  (module du pôle)

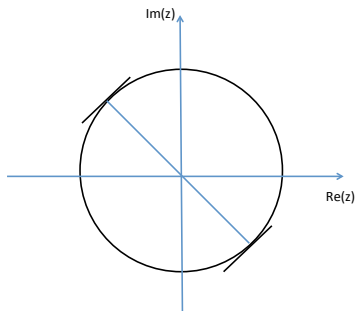
# Pôles d'un système du second ordre



## 2.3 Réponse fréquentielle

$$G(j\omega) = \frac{K}{1 - \left(\frac{\omega}{\omega_0}\right)^2 + j2\zeta\frac{\omega}{\omega_0}} \text{ en fonction de } \omega \text{ (ou } f = \frac{\omega}{2\pi}\text{)}.$$

- $|G(j\omega)| = \frac{K}{\sqrt{\left(1 - \left(\frac{\omega}{\omega_0}\right)^2\right)^2 + 4\zeta^2\left(\frac{\omega}{\omega_0}\right)^2}}$
- $\text{Arg}(G(j\omega)) = -\arctan \frac{2\zeta\frac{\omega}{\omega_0}}{1 - \left(\frac{\omega}{\omega_0}\right)^2}$  (attention si  $\omega > \omega_0, \pi - \arctan$ )



## Tracé de Bode asymptotique du module

- BF :  $|G(j\omega)| \underset{0}{\sim} K$ , soit :  $|G(j\omega)|_{\text{dB}} \underset{0}{\sim} 20 \log K = K_{\text{dB}}$

asymptote horizontale en BF

- HF :  $|G(j\omega)| \underset{\infty}{\sim} \frac{K\omega_0^2}{\omega^2}$ , soit

$$|G(j\omega)|_{\text{dB}} \underset{\infty}{\sim} 20 \log\left(\frac{K\omega_0^2}{\omega^2}\right) = 20 \log K\omega_0^2 - 40 \log \omega$$

asymptote oblique en HF : droite de pente -40 dB/décade,

Le point d'intersection des asymptotes a pour abscisse  $\omega = \omega_0$ .

en HF :

- ▶ quand on multiplie la fréquence du signal d'entrée par 10, en régime permanent l'amplitude du signal de sortie est divisée par 100
- ▶ quand on multiplie la fréquence du signal d'entrée par 2, en régime permanent, l'amplitude du signal de sortie est divisée par 4 (-12dB/oct)

Tracé de Bode asymptotique de l'argument :

$$G(j\omega) = \frac{K}{1 - \left(\frac{\omega}{\omega_0}\right)^2 + j2\zeta\frac{\omega}{\omega_0}}, \text{ d'où}$$

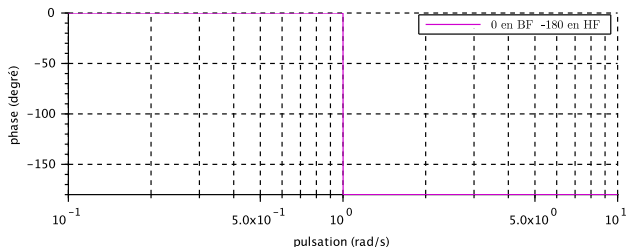
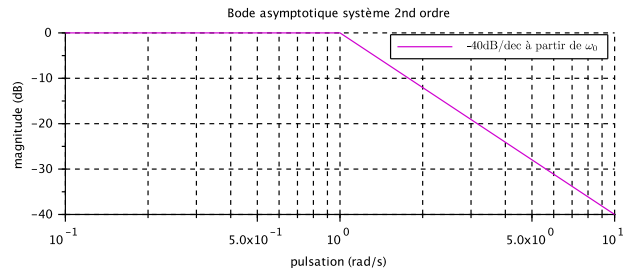
$$\text{Arg}(G(j\omega)) = -\arctan \frac{2\zeta\frac{\omega}{\omega_0}}{1 - \left(\frac{\omega}{\omega_0}\right)^2}$$

Rmq :  $\text{Arg}(G(j\omega_0)) = -90^\circ$ .

Approximation "grossière" (en marche d'escalier) :

- BF :  $\text{Arg}(G(j\omega)) \underset{0}{\sim} \text{Arg}(K)$ , soit  $\text{Arg}(G(j\omega)) \underset{0}{\sim} 0^\circ$
- HF :  $\text{Arg}(G(j\omega)) \underset{\infty}{\sim} \text{Arg}\frac{-K\omega_0^2}{\omega^2}$ , soit  $\text{Arg}(G(j\omega)) \underset{\infty}{\sim} -180^\circ$

# Tracés asymptotiques



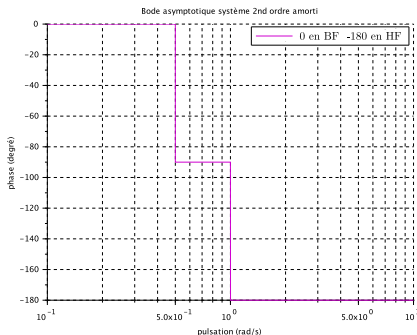
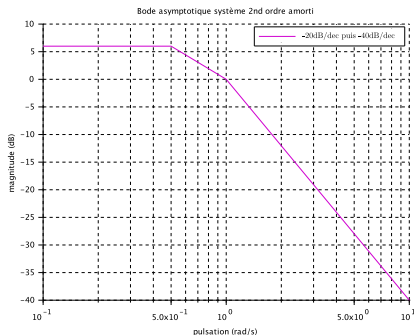
## Tracés asymptotiques second ordre amorti :

$$G(p) = \frac{K}{(1 + T_0 p)(1 + T_1 p)} = G_0(p)G_1(p)$$

$$|G(j\omega)|_{dB} = |G_0(j\omega)|_{dB} + |G_1(j\omega)|_{dB}$$

$$\text{Arg}(G(j\omega)) = \text{Arg}(G_0(j\omega)) + \text{Arg}(G_1(j\omega))$$

$$\text{Arg}(G(j\omega)) = \text{Arg}(G_0(j\omega)) + \text{Arg}(G_1(j\omega))$$





## Étude du module ("courbe réelle")

$$|G(j\omega)| = \frac{K}{\sqrt{(1 - (\frac{\omega}{\omega_0})^2)^2 + 4\zeta^2(\frac{\omega}{\omega_0})^2}} \quad (\text{en part. } |G(j\omega_0)| = \frac{K}{2\zeta})$$

Fonction monotone? ...

- $\frac{d|G(j\omega)|}{d\omega} = 0$  ssi  $\zeta < \frac{\sqrt{2}}{2}$  (et  $\zeta > 0$ ) : **Système résonant**

- ▶ module maximum pour

$$\omega_R = \omega_0 \sqrt{1 - 2\zeta^2}$$

- ▶ valeur maximum du gain (gain à la résonance) :

$$M = \frac{K}{2\zeta\sqrt{1 - \zeta^2}} \quad \text{plus } \zeta \text{ petit, plus } M \text{ grand}$$

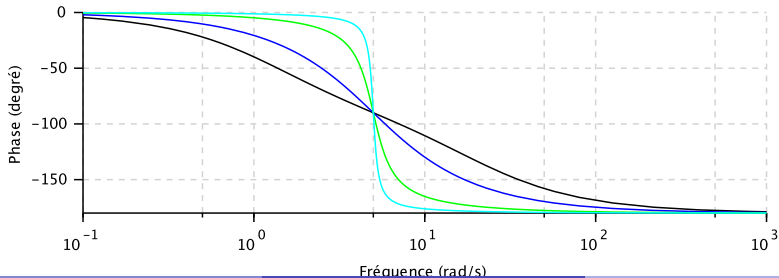
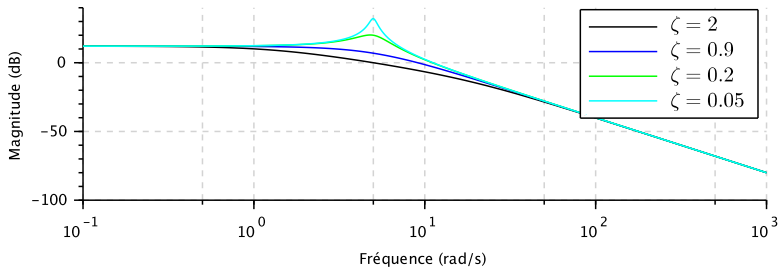
- ▶ coefficient de surtension :

$$Q = \frac{1}{2\zeta\sqrt{1 - \zeta^2}}$$

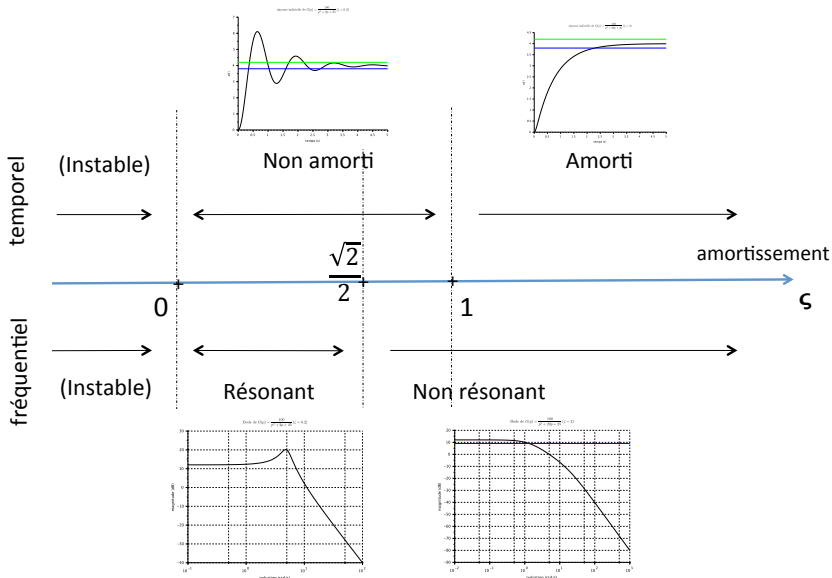
- **Système non résonant** ssi  $\zeta > \frac{\sqrt{2}}{2}$  :  $|G(j\omega)|$  est une fonction décroissante de  $\omega$

Exemple :  $K = 4, \omega_0 = 5 \text{ rad/s}$

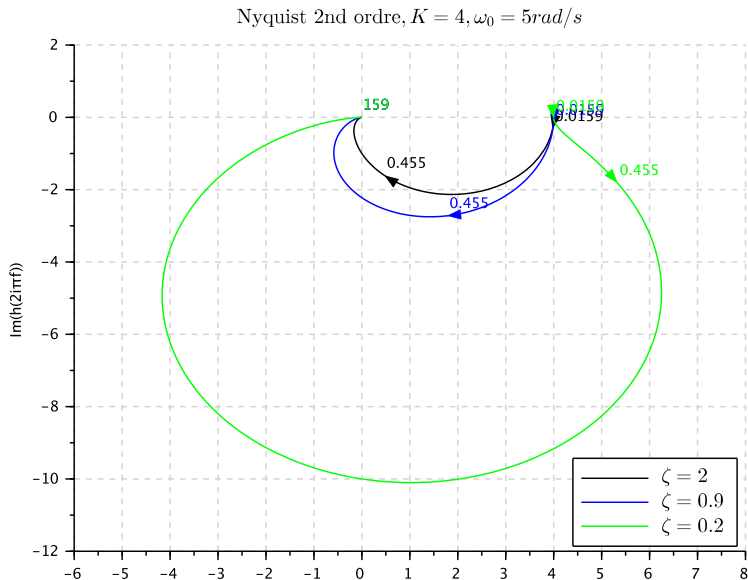
Bode 2nd ordre,  $K = 4, \omega_0 = 5 \text{ rad/s}$



# Influence de l'amortissement



- Plan de Nyquist :



- Plan de Black :

